

МИКРОПЕТРОГРАФИЧЕСКИЕ ХАРАКТЕРИСТИКИ ЛИТОТИПОВ КАЗАНСКИХ БИТУМОНОСНЫХ ОТЛОЖЕНИЙ СЕВЕРО-ВОСТОЧНОГО БОРТА МЕЛЕКЕССКОЙ ВПАДИНЫ

ВВЕДЕНИЕ

Казанский ярус Мелекесской впадины является объектом постоянного интереса, как в научном, так и в практическом отношении, так как, с одной стороны, Мелекесская впадина относится к стратотипической области пермской системы, а с другой стороны казанские отложения Мелекесской впадины являются вместелищем почти половины запасов тяжелых нефтей и битумов РТ. Данные обстоятельства обуславливают необходимость всестороннего систематического изучения казанских отложений с целью корректного геологического моделирования, генетического анализа и прогностических определений.

В стратиграфической схеме казанского яруса стратотипической области А.К. Гусевым, Б.В. Буровым, Н.К. Есауловой (1993) выделены: в объеме нижнеказанского подъяруса - сокский горизонт, а в объеме верхнеказанского подъяруса - поволжский горизонт (рис.1).

Среди геологов-практиков наиболее популярными являются схема М.Э. Ноинского (1924) при описании верхнеказанского подъяруса и схема Н.Н. Форша (1955) при описании нижнеказанского подъяруса (рис.1).

Указанные схемы являются основой известных геологических реконструкций казанского яруса, в том числе литологической типизации. Одним из примеров такой литотипизационной схемы является схема литолого-геофизического расчленения казанских отложений Г.В. Виноходовой и С.С. Эллерна (1985а, 1987), которая была составлена для обширной зоны залегания пермских отложений от западных районов Оренбуржья через северо-восточные районы Куйбышевской области в направлении центральной части Закамья в Татарии, смещаясь постепенно к северо-западу в сторону Казани.

Здесь литотипами (рис.1) являются пронумерованные пласти, выделенные по описанию керна и данным ГИС (кривым КС, ПС, ГК, НГК и др.). Установлен ряд опорных реперных горизонтов, четко прослеживающихся в геологических разрезах казанского яруса. К опорным реперным горизонтам относятся сульфатная пачка "подбой" (пласт 1), "руководящий доломит" (пласт 3), кровля карбонатной толщи (карбонат-

ная толща включает пласти 11-15) и подстилающие ее лингуловые глины (пласт 16). Пласти сопоставлены с определенными стратиграфическими подразделениями казанского яруса (рис.1). Так, по мнению Г.В. Виноходовой и С.С. Эллерна (1985, 1987), "руководящий доломит" является аналогом отложений "ядреный камень" приказанных слоев поволжского горизонта в стратотипической схеме. Он залегает с явно выраженным стратиграфическим несогласием на подстилающих отложениях. Более того, в обсуждаемых работах, между подошвой "руководящего доломита" и кровлей "карбонатной толщи" на значительной территории выделена терригенная толща – катергинская свита (пласти 4-10), сложенная чередующимися песчаными, алевролитовыми, глинистыми и мергельными породами и отнесенна к красноярским (барбашинским) слоям нижнеказанского подъяруса и частично к вышележащим отложениям, параллелизуемым с пачками "ядреный камень" и "слоистый камень" (рис.1). Указанные авторы определяют катергинскую свиту как межформационную свиту (самостоятельный литостратиграфический компонент), возраст которой однозначно не установлен (в нижних пластах катергинской свиты обнаружены остатки спириферид из рода лихаревий (нижнеказанские комплексы), в верхних пластах - ассоциации верхнеказанских остракод).

Однако, описанная схема не может считаться литостратиграфической, так как не отвечает в полной мере стратиграфическим критериям. Тем не менее, эта схема, как плод изучения керна десятков структурных скважин и сотен диаграмм ГИС в связи с поиском и разведкой битумных залежей, является достаточно удобной литотипизационной основой разрезов казанских битумоносных отложений. При обращении к данной схеме важно учитывать то обстоятельство, что авторами схемы и автором данной работы еще не был наблюден полный разрез всех пластов (08-17), представленных на рис.1. Отсутствие ряда пластов объясняется, видимо, как палеогеографическими и фациальными причинами (обсужденными, например для комплекса пластов 11-15, разделенного на западный, центральный и восточный типы разреза (Г.В. Виноходова, С.С. Эллерн (1985, 1987), рис.1), так и методи-

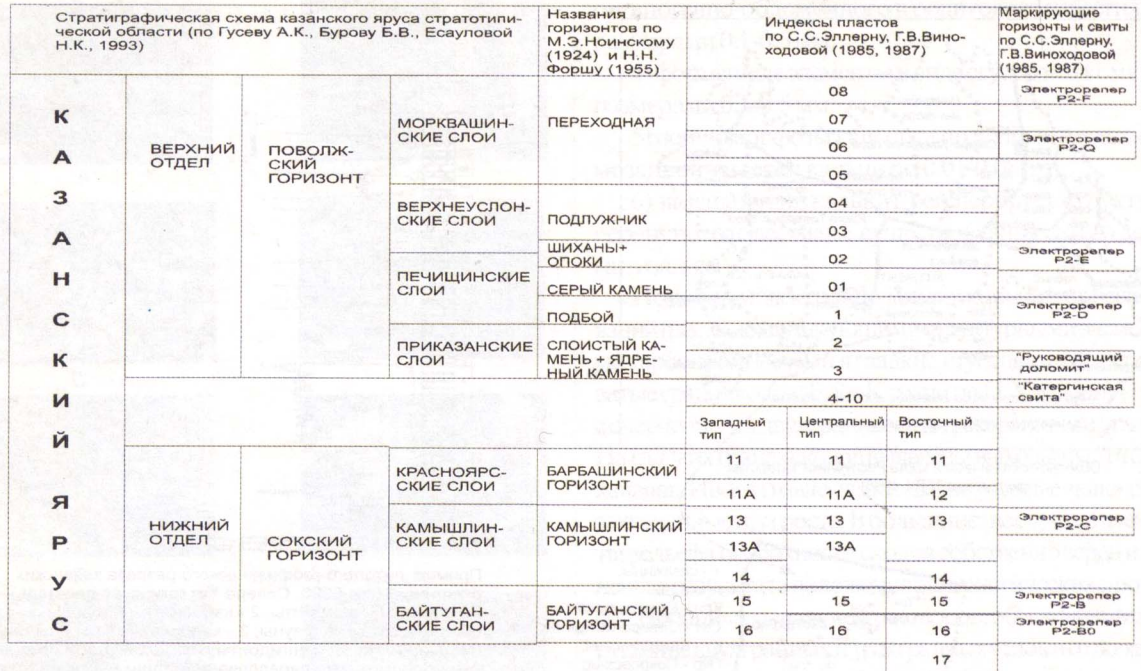
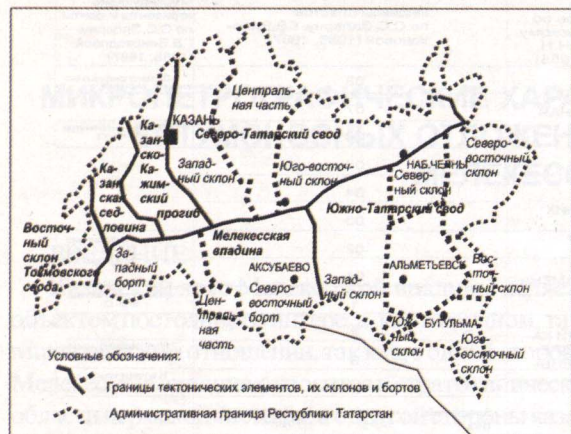
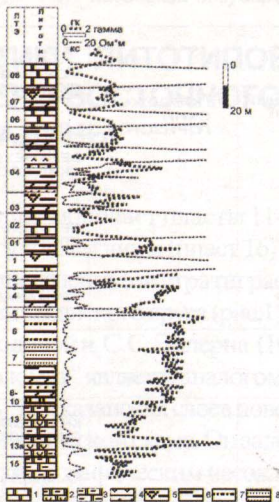


Рис.1. Схема С.С.Эллерна и Г.В. Виноходовой (1985, 1987) в соотношении со стратиграфическими схемами казанского яруса

Таблица 1. Характеристика литотипов казанских битумоносных отложений северо-восточного борта Мелекесской впадины

ЛтЭ	Обобщенная характеристика литотипа	Текстура битумонасыщения	Типы пустот	Kн*	Kб*
08	Доломит пелитоморфный, струйковый, комковатый, глинистый, загисованный.	Неравномерно точечная	Межзерновые поры	11.0	0.2
07	Тонкое (0.3-0.5 м) и более грубое (0.5-1 м) пересланье песчаника, алевролита, аргиллита с обильными включениями гипса. Пример песчаника показан на рис.3-Je	Неравномерно точечная	Межзерновые поры		
06	Доломит пелитоморфный, участками струйковый, глинистый, загисованный.	Неравномерно точечная	Межзерновые поры, полости струек	12.0	0.5
05	Тонкое (0.3-0.5 м) и более грубое (0.5-1 м) пересланье песчаника, алевролита, аргиллита с обильными включениями гипса, кальцита и доломита.	Неравномерно точечная	Межзерновые поры	14.0	0.7
04	Доломит пелитоморфный. Пример на рис.5-1	Неравномерно точечная, пятнистая	Межзерновые поры	12.0	0.9
03	Тонкое (0.3-0.5 м) и более грубое (0.5-1 м) пересланье песчаника, алевролита, аргиллита с обильными включениями гипса, доломита и кальцита.	Неравномерно точечная	Межзерновые поры	13.5	0.9
02	Доломит пелитоморфный, микротрешиноватый, участками загисованный. Пример на рис. 3-H	Неравномерно точечная, пятнистая..	Межзерновые поры, микротрещины	14.7	0.6
01	Тонкое пересланье (0.3-0.5 м) алевролита, аргиллита, мергеля, доломита, участками с остатками фауны пелепилод, участками с включениями гипса. Пример доломита показан на рис. 3-H. На рис. 3-G показан пример тонкого чередования пород – контакт аргиллита и алевролита.	Неравномерно точечная	Межзерновые поры, микротрещины, полости струек и фаунистических остатков	20.5	0.7
1	Гипс тонкокристаллический с прожилками тонкозернистого доломита. Пример на рис. 3-E.	Неравномерная селективная	Микротрещины	5.1	следы
2	Тонкое (0.1-0.3 м) или грубое (0.5-1 м) пересланье песчаников, алевролитов, мергелей, аргиллитов, доломитов. Пример песчаника показан на рис. 3-C. На рис. 3-D показан пример чередование слойков доломита глинистого и доломита с включениями гипса.	Неравномерно точечная, пятнистая	Межзерновые поры, микротрещины, полости струек и фаунистических остатков	15.0	2.1
3	Доломит пелитоморфный, участками с тонкими прослойками алевролита и аргиллита, с мелкими и поблизиотвными включениями гипса (рис. 3-A, 3-B).	Равномерно точечная, пятнистая	Межзерновые поры, микротрещины	16.7	0.8
4	Тонкое пересланье (толщина слоя 0.3-0.5 м) алевролитов, аргиллитов, реже песчаников, мергелей. Наиболее распространенный тип породы – алевролит неяснослойистый, глинистый. Примеры литотипа представлены на рис.4-A и 4-B.	Неравномерно точечная, редко пятнистая	Межзерновые поры, микротрещины	22.0	0.9
5	Песчаник мелкозернистый, неяснослойистый. Примеры песчаников показаны на рис. 4-C и 4-D.	Сплошная равномерная, неравномерная селективная и равномерно точечная	Межзерновые поры	20.8	2.5
6	Алевролит или пересланние алевролитов и песчаников, с тончайшими включениями и прослойками глини и аргиллитов, часто микротрешиноватые. По микротрещинам развита кальцитовая и реже сульфатная минерализация. Пример показан на рис. 4-E.	Равномерно точечная, пятнистая, по микротрещинам, сплошная неравномерная	Межзерновые поры, микротрещины	22.0	0.8
7	Песчаник или алевролит, чаще песчаник мелкозернистый. Пример показан на рис.4-F.	Сплошная равномерная, неравномерная селективная и равномерно точечная	Межзерновые поры	19.5	0.7
8-10	Тонкое (0.3-0.5 м) или более грубое (0.5-1 м) пересланье алевролитов, аргиллитов и песчаников с включениями обугленных растительных остатков, пирита. Примеры показаны на рис. 4-G и 4-H.	Неравномерная селективная и равномерно точечная	Межзерновые поры, микротрещины	22.0	0.8
13	Доломит пелитоморфный, тонкозернистый, замещения по оолитовым и органогенно-обломочным известнякам, микротрешиноватый, участками загисованный, с выделениями регенерированного кальцита. Примеры показаны на рис.5-A, 5-C, 5-F.	Сплошная равномерная, селективная неравномерная по микротрещинам, неравномерно точечная	Межзерновые поры, микротрещины, полости струек, оолитов и фаунистических остатков	16.5	1.6
13а	Доломит пелитоморфный, струйковый, замещения по органогенно-обломочным известнякам с остатками измененной фауны, с пойкилитовыми выделениями кальцита и гипса, развитыми по форменным образованиям. Пример показан на рис. 5-E.	Неравномерно селективная и равномерно точечная	Межзерновые поры, микротрещины, полости струек и фаунистических остатков	15.7	1.0
15	Доломит пелитоморфный, тонкозернистый, замещения по органогенно-обломочным известнякам с остатками измененной фауны, с пойкилитовыми выделениями кальцита и гипса, развитыми по форменным образованиям. Пример показан на рис. 5-E.	Неравномерно селективная и равномерно точечная	Межзерновые поры, микротрещины, полости струек и фаунистических остатков	15.0	2.8

* Средние значения коэффициентов открытой пористости (Kн) и битумонасыщенности массовой (Kб) рассчитывались по выборкам наблюдений не менее 100.

Обзорно-тектоническая карта Республики Татарстан
(по данным ТГРУ, 1998)

Пример литолого-геофизического разреза казанских отложений (скв. 6925, Северо-Катергинская площадь). Литотипы: 1 - доломиты; 2 - карбонатные породы с обилием остатков фауны; 3 - карбонатные породы глинистые; 4 - гипсы и ангидриты с прослойками и прожилками доломита; 5 - переслаивание глин, мергелей, алевролитов, песчаников, доломитов с остатками пелепецидов и другой фауны; 6 - переслаивание глин, мергелей, алевролитов, песчаников, доломитов; 7 - переслаивание алевролитов и песчаников; 8 - песчаники.



Рис.2. Объект исследования: обзорно-тектоническая карта, схема расположения точек наблюдения, пример литолого-геофизического разреза исследуемой области.

ческими погрешностями определений границ пластов из-за частой конвергенции свойств пластов. В дальнейшем, пластины обсужденной выше схемы будут называться ЛТЭ (литотипы Эллерна).

Битумопроявления характерны для всего казанского яруса в целом, однако значительные битумные концентрации выявлены в ЛТЭ: 2-3, 5-7, 13-15 северо-восточного борта Мелекесской впадины. Особенности строения казанских битумоносных резервуаров по отдельным площадям и комплексам пластов рассмотрены в работах Г.В. Виноходовой, С.С. Эллера (1985а, б, 1987), Н.Г. Нургалиевой (1991, 1994, 1995, 1996, 1997).

В настоящей статье, являющейся продолжением указанных работ, в связи с актуальностью микропетрографических и фациально-генетических типализаций осадочно-породных комплексов казанских битумоносных отложений, предложено рассмотрение микропетрографических характеристик и битумонасыщения в ЛТЭ.

ОБЪЕКТЫ И МЕТОДЫ ИССЛЕДОВАНИЯ

Объектом исследований явился керн 20 структурных скважин Иглайкинской, Катергинской, Северо-

Катергинской, Курналинской площадей северо-восточного борта Мелекесской впадины. Расположение объектов исследования и пример литолого-геофизического разреза показаны на рис.2.

В работе обобщены результаты изучения пород в шлифах (500 шлифов), исследования минералов иммерсионным методом (керн 4 скважин), электронно-микроскопического исследования карбонатных пород (10 препаратов), исследования пород в порошках методом ЭПР (1500 проб). Указанные методы применялись в соответствии с техниками исследования пород по Г.Б. Мильнеру (1968), П. Хартману (1967), G.R. Bulka et al (1991) и др.

Микропетрографические характеристики литотипов казанского яруса

Характеристики пород по результатам изучения в шлифах обобщены в таблице 1 и на рис. 3, 4, 5.

Данное обобщение показывает, что в разрезе выделяются три осадочно-породные компоненты: карбонатная, терригенная и сульфатная.

Карбонатная компонента представлена в основном доломитами известковистыми и известковыми, а также известняками доломитовыми.

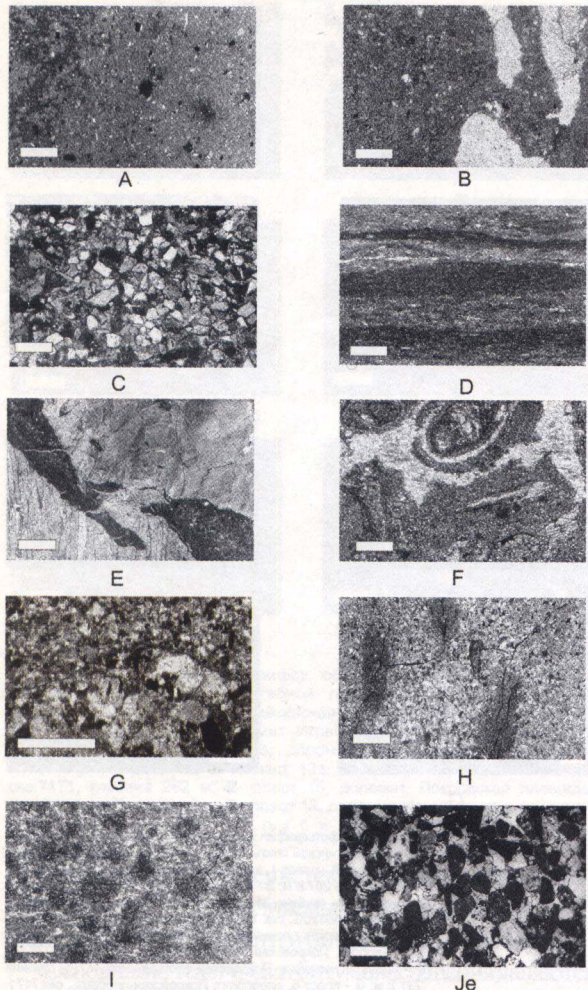


Рис.3. Микрофотографии шлифов (при одном николе) образцов пород верхнеказанского подъяруса. Длина масштабной линейки составляет 0.2 мм. А - пласт 3, доломит, Иглайкинская площадь, скв. 8078, глубина 256.6 м; В - пласт 3, доломит, Курналинская площадь, скв. 6975, глубина 278.4 м; С-пласт 2, песчаник, Курналинская площадь, скв.6975, глубина 273.6 м; Д - пласт 2, доломит, Иглайкинская площадь,скв.8078, глубина 249.2 м; Е- пласт 1, гипс и доломит, Покровская площадь, скв. 7171, глубина 212.7 м; F - пласт 01, доломит, Покровская площадь, скв.7171, глубина 199.6 м; G - пласт 01, контакт алевролита и аргиллита, Северо-Катеринская площадь, скв. 6873, глубина 291.9 м; H - пласт 02, доломит, Северо-Катеринская площадь, скв.6873, глубина 289.5 м; I - пласт 04, доломит, Северо-Катеринская площадь, скв.6873, глубина 264.1 м; Je- переходная толща, песчаник, Аксубаевская площадь,скв.123, глубина 148.0 м.

Типоморфизм карбонатных пород казанского яруса определяется характером взаимоотношения следующих наиболее характерных структурных элементов:

- 1) мелкие окружные зерна доломита (размер зерен 0.05-0.001мм и менее 0.001 мм);
- 2) зерна доломита более или менее корродированы и частично замещены кальцитовыми зернами от тончайших до крупных (до 0.1-0.5мм);
- 3) форменные элементы структуры первичного

органогенно-обломочного и оолитового известняка с размерами 0.1-0.5 мм;

- 4) форменные элементы в виде сгустков и комков с размерами 0.1-0.5 мм;

5) псевдоморфозы кальцита по доломиту сложены мозаикой из зерен кальцита (0.01-0.08мм);

- 6) замещающий кальцит регенерирует структуры первичного известняка, существовавшие до его доломитизации.

По данным электронно-микроскопических исследований (рис.6) доминирующими структурными элементами карбонатов являются гладкие, ступенчатые и шероховатые грани сколов (F, S и K грани по П. Хартману (1967) с очерченными двухгранными и трехгранными углами. На гладких гранях сколов выявлены выходы пустотелых каналов. Иногда извлекаются твердофазовые включения, захваченные при росте. В большинстве случаев элементы рельефа поверхности сколов собственно зерен изменены в результате наложения эпигенетических процессов, связанных с влиянием растворов, обусловивших округление двухгранных и трехгранных углов и отложение на гладких гранях новообразований в виде округлых наростаний.

Сульфатная компонента (гипс и ангидрит) представлена в виде микрозернистых агрегатов, слойков, прожилок, прослоев. В большинстве случаев природа сульфатной компоненты, по-видимому, вторичная, обусловленная процессами доломитизации и битуминизации пород. К основным микроструктурным элементам сульфатной минерализации относятся:

1) пойкилитовые кристаллы с размерами до 1 мм, развитые по микротрещинам или псевдоморфозам структур карбонатов;

2) крупнокристаллические агрегаты с игольчатой, волокнистой и листовато-чешуйчатой структурой;

3) мелкие (0.05-0.2 мм) и крупные (0.2-0.5 мм) зерна в составе цемента, скрепляющие форменные элементы в карбонатных породах и обломочные зерна в терригенных породах.

Основной особенностью сульфатной минерализации является характерные парагенезы сульфатов с доломитами и с битумными выделениями. Парагенез сульфатов с доломитами указывает на их совместную генерацию на определенных стадиях литогенеза. Парагенез сульфатов с битумом характеризуется чаще всего тем, что битум обволакивает кристаллы гипса, не проникая внутрь, или развивается по микротрещинам.

Терригенная компонента представлена разностями псамmitовых и пелитовых пород: песчаниками, алевролитами, глинистыми породами и их смешанными разностями. Большая доля терригенных пород приходится на

ЛТЭ4-10. Песчаники часто составляют основную долю ЛТЭ 5 и 7. В остальных частях разреза песчаники и другие терригенные породы образуют сложные литотипы в виде тонкого (0.3-0.5 м) или относительно более грубого (0.5-1 м) переслаивания пород. По соотношению основных компонент кластики песчаники представлены граувакковыми аркозами и полевошпатово-кварцевыми граувакками (рис.7), в основном, мелкозернистыми, средне-отсортированными. Полевые шпаты представлены кислыми и плагиоклазами и микроклином, граувакковая часть включает обломки глинистых сланцев, кремнистых пород, глинизированные обломки основных и средних эфузивов. В песчаниках катергинской свиты часто отмечаются чешуйки биотита и мусковита. Чешуйки биотита часто гидратированы, реже хлоритизированы, в отдельных случаях превращены в вермикулит. Цемент песчаников и алевролитов глинистый, кальцитово-глинистый, участками гипсовый, базальный, поровый или типа выполнения пор. Аргиллиты характеризуются пелитовой структурой, беспорядочной и реже микрослоистой текстурой, в той или иной степени алевритистые, участками микротрециноватые. Для глинистых пород характерно обилие обугленных растительных остатков. Характерной составляющей аутогенной компоненты пород верхнеказанского подъяруса является сидерит, а нижнеказанского подъяруса – пирит (преимущественно, рассеянная форма) (Нургалиева Н.Г., 1991). Минеральный состав второстепенных аллотигенных минералов был опубликован в работе Н.Г. Нургалиевой, Р.К. Тухватуллина (1996). Он включает в себя черные рудные минералы, минералы ряда эпидот-цоизит, роговые обманки, гранаты, турмалин, циркон, рутил, анатаз, ставролит, корунд, силиманит, апатит. К наиболее распространенным относятся черные рудные минералы и минералы ряда эпидот-цоизит.

Исследование пород данного разреза парамагнитными метками (Bulka G.R. et al, 1991) также позволило диагностировать рассматриваемые литотипы. На рис.8 показан пример изменчивости ряда микропризнаков: парамагнитных меток наличия и содержания доломита и кальцита ($Mn^{(2+)}$ – метка), обугленных растительных остатков (метка-органический радикал), а также минералогических показателей (содержания черных рудных, гранатов, показателя T/L (Бергер М.Г., 1986)). На этой диаграмме довольно четко выделяются ЛТЭ 5-7 по увеличению содержаний гранатов, черных рудных, а также парамагнитным меткам (в основном по увеличению содержания органических радикалов). По $Mn^{(II)}$ дифференцируются зоны карбонатной (кальцитовой и доломитовой минерализации), а по $Km n$ – только доломитовой минерализации. В работе Н.Г Нургалиевой (1991) было установлено, что повышенные значения T/L и содержания гранатов ха-

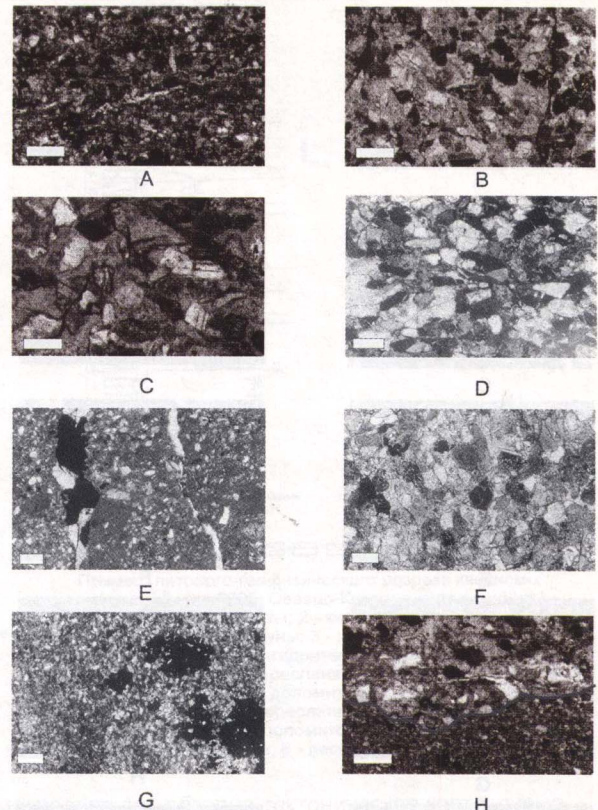


Рис.4. Микрофотографии шлифов (при одном никеле) образцов пород катергинской свиты. Длина масштабной линейки составляет 0.1 мм. А - пласт 4, алевролит, Иглайкинская площадь, скв. 8078, глубина 257.8 м; Б - пласт 4, алевролит, Северо-Катергинская площадь, глубина 316.0 м; С-пласт 5, песчаник, Северо-Катергинская площадь, скв. 6873, глубина 324.8 м; Д - пласт 5, песчаник, Покровская площадь, скв. 7171, глубина 225.3м; Е- пласт 6, алевролит, Покровская площадь, скв. 7171, глубина 228.6м; Ф - пласт 7, песчаник, Покровская площадь, скв. 7171, глубина 231.2 м; Г - пласт 8, алевролит, Покровская площадь, скв. 7171, глубина 236.1м; Н - пласт 8, контакт алевролита и аргилита, Иглайкинская площадь, скв. 8078, глубина 274.9 м.

терны для раздувов песчаников пластов 5 и 7. Картирование этих песчаников, установленных, в основном, по макроописаниям керна и интерпретация их как баровых тел были проведены в работах Г.В. Виноходовой и С.С. Эллерна (1985). Однако увеличение содержания гранатов и значения показателя T/L в участках с увеличенными толщинами этих пластов предварительно указывает на то, что интенсивный перемыв соответствующих осадков не происходил, что не свойственно баровым телам. Поэтому данное картирование требует дальнейшей детализации литолого-фаунистических границ с учетом микропетрографических наблюдений, данных гранулометрии и результатов новой обработки кривых ГИС с привлечением новых методик, одна из которых описана в работе (Nourgaliev D.K., Nourgalieva N.G., 1999). Данное картирование актуально для большинства литотипов казанского яруса, в частности, для литолого-фаунистического контроля битумоносных резервуаров.

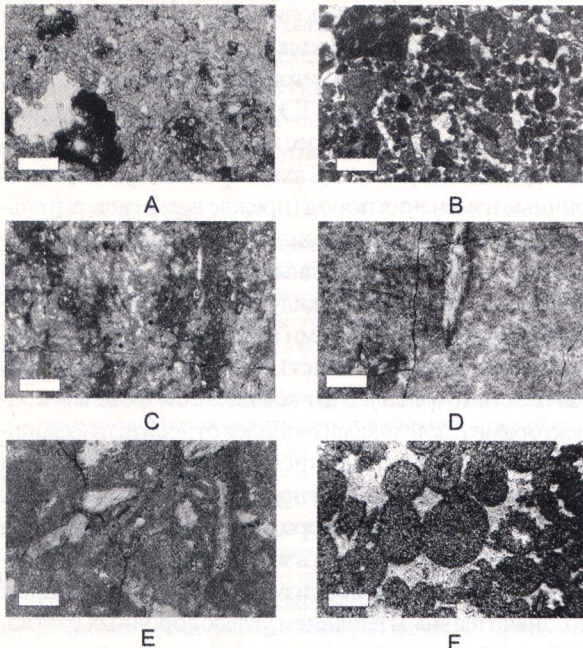


Рис.5 Микрофотографии шлифов образцов пород нижнеказанского подъяруса. Длина масштабной линейки составляет 0,2 мм.
А - пласт 13, доломит, Иглайинская площадь, скв. 8078, глубина 306,8м; В - пласт 13а, доломит Иглайинская площадь, скв. 8078, глубина 319,5 м; С-пласт 13, доломит, Покровская площадь, скв. 7171, глубина 268,4 м; Д - пласт 13а, доломит, Покровская площадь, скв.7171, глубина 282 м; Е- пласт 15, доломит, Покровская площадь, скв. 7171, глубина 284,6 м; Ф - пласт 13, доломит, Иглайинская площадь, скв. 95 , глубина 282,5 м

В таблице 1 отражены текстуры битумонасыщения и типы пустот, заполняемых битумом, а также средние значения пористости и битумонасыщенности.

Основными текстурами битумонасыщения являются неравномерная и равномерная точечная и пятнистая, неравномерная селективная, сплошная равномерная и неравномерная. К основным типам пустот, заполняемых битумом относятся: межзерновые поры сложной, неправильной, округлой формы; микротрешины; полости структов, оолитов и фаунистических остатков.

По характеру битумонасыщения выделяются два комплекса ЛТЭ: 08-1 и 2-15. Комплексы ЛТЭ 08-1 характеризуются в основном неравномерной точечной и пятнистой текстурами, приуроченными к межзерновым порам и микротрешинам, реже к полостям структов и фаунистических остатков. Средняя пористость изменяется от 12 до 20.5%, средняя битумонасыщенность меньше 1% масс. Комплекс ЛТЭ 2-15 отличается большим разнообразием текстур битумонасыщения от точечной до сплошной, приуроченных ко всем типам пустот. Средняя пористость колеблется в пределах 15-22%, а средняя битумонасыщенность – в пределах 0.8-2.8% масс. Повышенные битумные концентрации отмечаются в пластах 2, 5-7, 13-15 и законо-

мерно связываются с более однородными терригенными породами (песчаниками, реже алевролитами) и карбонатными породами, структура которых образована форменными элементами, в основном, фаунистическими остатками и оолитами.

ОБСУЖДЕНИЕ

Результаты проведенных исследований указывают на доминирующее значение вторичных изменений литологического состава пород, особенно карбонатной компоненты разреза.

Изменения литологического облика пород, структур порового пространства в карбонатных породах связаны с процессами выщелачивания и вторичной минерализации.

Взаимоотношения этих процессов с процессами формирования битумных скоплений обсуждались ранее в работах (Троепольский В.И., Эллерн С.С., 1964; Лебедев Н.П., 1969; Bulk G.R, et al, 1990; Сахибгареев Р.С., 1989 и др.). Подчеркнута многостадийность эпигенетических преобразований, формировавших литологический облик битумомещающих пород. Характерно в этом отноше-

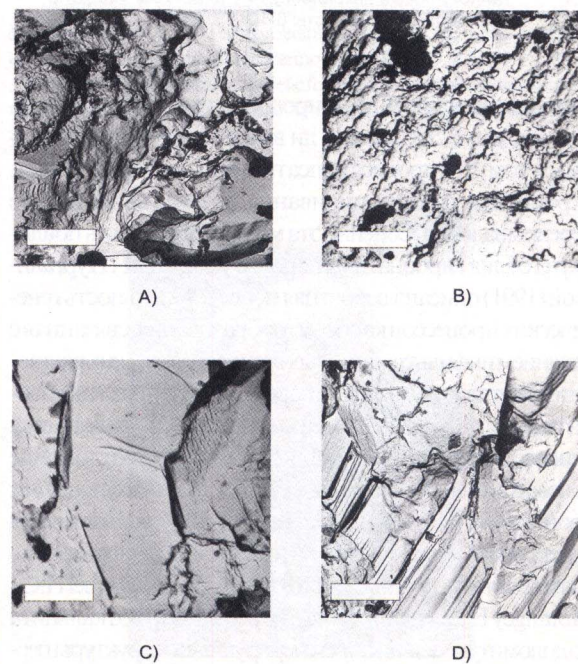


Рис.6. Электронномикроскопические фотографии угольных реплик со свежих сколов образцов карбонатных пород казанского яруса
А) Курналинская площадь, скв.6985, верхнеказанский подъярус, пачка "шиханы";
Б) Курналинская площадь, скв.6985, верхнеказанский подъярус, пачка "подбой";
С) Покровская площадь, скв.7171, нижнеказанский подъярус, камышлинский горизонт;
Д) Покровская площадь, скв.7171, нижнеказанский подъярус, камышлинский горизонт.
Длина масштабной линейки равна 0.001мм.

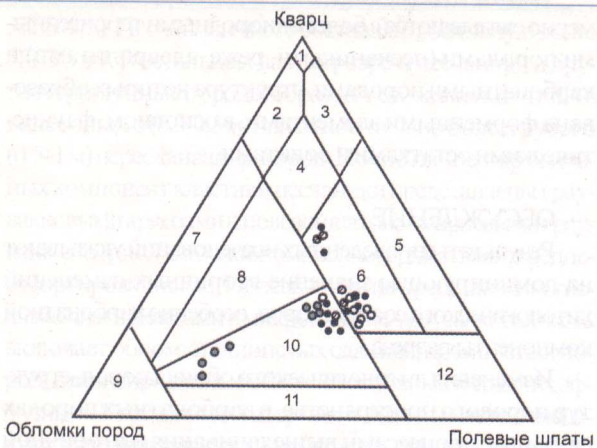


Рис.7. Состав песчаников катергинской свиты северо-восточного борта Мелекесской впадины (по классификации В.Д.Шутова (1967, 1971).

1 - мономиктовые кварцевые, 2 - кремнекласто-кварцевые, 3 - полевошпатово-кварцевые, 4 - мезомиктовые кварцевые, 5 - собственно аркозы, 6 - граувакковые аркозы, 7 - кварцевые граувакки, 8 - полевошпатово-кварцевые граувакки, 9 - собственно граувакки, 10 - кварцево-полевошпатовые граувакки, 11 - полевошпатовые граувакки, 12 - кристаллоптуфовые накопления; • - пласт 5, ◊ - пласт 6, ○ - пласт 7, ● - пластины 8-10.

нии высказывание Л.М. Миропольского (1935) по пермским осадкам: "Но можно ли вместе с тем быть уверенным в том, что процесс гипсатизации, дегипсатизации, окремнения, раздоломичивания, позднее вновь ими не перекрывался". Особенность эта многостадийность повлияла на облик карбонатных пород. В работе Н.Г. Нургалиевой (1991) описана вероятная последовательность генетических процессов карбонатообразования, связанная с влиянием инфильтрационных вод и органических растворителей углеводородных растворов: диагенетическая доломитизация по модели Б.П. Кротова (1914), инфильтрация эпигенетических растворов, коррозия и переотложение доломита, новообразование кальцита, сульфатов кальция, проникновение углеводородов и последующая частичная перекристаллизация карбонатов кальция и магния, сульфатизация и битуминизация (Rossi D.(1967); Machel H.G., Mountgey E.W. (1986)). Развитие псевдоморфоз кальцита по доломиту и кальцита, регенерирующего структуры первичного известняка указывает на возможно различное удерживающее влияние органических растворителей для веществ, мобилизованных в углеводородородсодержащие растворы, которое изучалось в работе У. Энерглина, Л. Брили (1975). Разительным в описанном эксперименте оказалось поведение кальцита и доломита. Если доломит после полного растворения не давал осадка, то кальцит в

таких же условиях после полного растворения при стоянии раствора выпадал в осадок. Этим можно объяснить развитие вторичной кальцитовой минерализации.

Породы комплекса ЛТЭ 08-01, по-видимому, оказались в условиях наиболее интенсивного гипергенеза и криптогипергенеза (Сахибгареев Р.С., 1989) и вторичные изменения пород (прежде всего окислительные процессы) в этом комплексе, по-видимому, сильно разрушили углеводородные скопления. Породы комплекса 2-15 оказались между двумя довольно выдержаными экранирующими пластами: сверху – ЛТЭ 1 (гипс-ангибитовый пласт), снизу – лингулловые глины пласта 16 (рис.1). Этот комплекс с хорошими коллекторами и ловушками оказался относительно защищенным от мощного окисляющего воздействия и явился своего рода зоной притяжения и повышенных концентраций углеводородов, история накопления и преобразования которых в значительной мере обусловила характер вторичных изменений пород, связанных со значительным влиянием углеводородных растворов на осадочно-породную среду: растворения карбонатных минералов, вторичной кальцитизации и пиритизации, восстановления сульфатов кальция.

ЗАКЛЮЧЕНИЕ

1. В настоящей работе даны микропетрографические характеристики ЛТЭ и показана их связь с характером битумонасыщения пород.

2. Выявлено доминирующее влияние вторичных изменений пород на их литологический облик, пустотное пространство, распределение битумонасыщения.

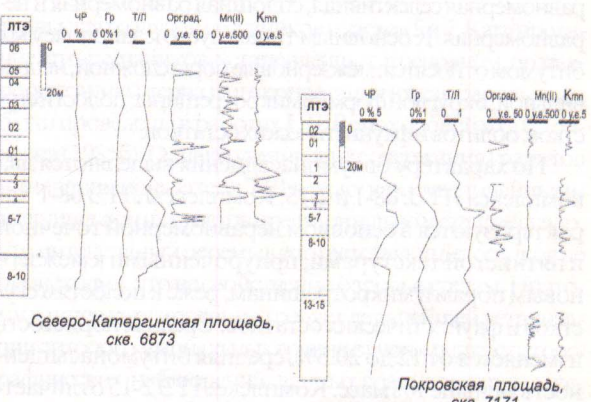


Рис.8. Диаграммы минералогических показателей:
ЧР - содержание черных рудных минералов в тяжелой фракции;
Гр - содержание гранатов в тяжелой фракции;
Т/П - отношение содержаний минералов с плотностью более 4 г/см³ и менее 4 г/см³ в тяжелой фракции.
Диаграммы параметров меток:
Орг.рад. - содержание органических радиоактивных элементов;
Mn (II) - общее содержание марганца двухвалентного;
Кмн - отношение содержания марганца в магниевой и кальциевой позициях в доломите.

3. Вторичные изменения пород являются одним из актуальных предметов исследования литогенеза ЛТЭ, выявления зон древних водонефтяных контактов, восстановления истории осадочно-породного бассейна, формирования и преобразования углеводородных скоплений.

ЛИТЕРАТУРА

Бергер М.Г. Терригенная минералогия. – М.: Недра, 1986. - 227с.
Виноходова Г.В., Эллерн С.С. Строение и перспективы битумоносности казанских отложений центральной части Закамской Татарии и смежных областей. – В кн.: Пути повышения эффективности подготовки новых запасов нефти на месторождениях Татарии, Альметьевск, 1985.-С.92-95

Виноходова Г.В., Эллерн С.С. Остроении нижней части казанского яруса востока Мелекесской впадины и особенностях распределения битумов. – В кн.: Геология и геохимия нефти и природных битумов. – Казань: Изд-во Казанск. Ун-та, 1985.-С.8-25

Виноходова Г.В., Эллерн С.С. Строение нижней части казанских отложений Южной Татарии и прилегающих областей в связи с оценкой их битумоносности // Геология и геохимия нефтеносных отложений. – Казань: Изд-во Казанск. Ун-та, 1987, С.96-113

Гусев А.К., Буров Б.В., Есаулова Н.К. и др. Биостратиграфическая характеристика верхнепермских отложений Поволжья и Прикамья // Бюллетень Региональной межведомственной стратиграфической комиссии по центру и югу Русской платформы. – Вып. 2. – М., 1993. – С.75-80.

Кротоб. Б.П. Доломиты, их образование, условия их устойчивости в земной коре и изменения в связи с изучением доломитов верхних горизонтов казанского яруса в окрестностях г. Казани// Труды Казанского общества естествоиспытателей, 1914. – 90c.

Лебедев Н.П. Битумомещающие породы пермских отложений Татарии и смежных районов Ульяновской и Куйбышевской областей. – В кн. Битуминозные толщи востока Русской платформы. – Казань: Изд-во Казанск. Ун-та, 1973. - С.32-84.

Мильнер Г.Б. Петрография осадочных пород. – М: Недра, 1968. – т.1. – 500с.; т.2. – 666с

Миропольский Л.М. Характеристика минерального комплекса и основных геохимических процессов в пермских отложениях у с. Сюкеево в Татарской республике // Ученые записки Казанск. Ун-та, геология, 1935. – т.95, кн.3-4, вып. 5-6. – С.3-94.

Ноинский М.Э. Некоторые данные относительно строения и фационального характера казанского яруса в Приказанском районе // Известия геологического комитета, т.43, №6, 1924. – С.565-622.

Нургалиева Н.Г. (Мухутдинова Н.Г.) Литология и битумоносность отложений казанского яруса Мелекесской впадины, ТАССР. Автореферат дисс. на соискание степени кандидата геолого-минералогических наук. – Казань, 1991.- 23с.

Нургалиева Н.Г. (Мухутдинова Н.Г.) Статистические модели битумомещающих комплексов Татарстана. - В кн.: Проблемы комплексного освоения трудноизвлекаемых запасов нефти и природных битумов (добыча и переработка). Доклады международной конференции. - Казань, 1994, т.4, С.1419-1430

Нургалиева Н.Г. (Мухутдинова Н.Г.) Статистическая оценка информативности некоторых параметров коллекторских свойств пород. – В кн.: Геология и разведка нефтебитумоносных комплексов. – Казань: Изд-во Казанск. Ун-та, 1995. – С.73-81.

Нургалиева (Мухутдинова Н.Г.), Тухватуллин Р.К. Литофацальная типизация пермских отложений Мелекесской впадины. Пермские отложения Республики Татарстан // Материалы республиканской пермской геологической конференции. 27 февраля – 1 марта 1996г., Казань: Экоцентр, 1996–С.139-145.

Нургалиева Н.Г. Исследование геолого-статистических взаимосвязей некоторых параметров. – В кн.: Вопросы геологии, разведки и разработки нефтяных и битумных месторождений. – Казань: Изд-во КГУ, 1997.–С.101-123.

Нургалиева Н.Г. К вопросу петрографической типизации карбонатных пород пластов 13, 13а, 15 казанского яруса Иглайкинской площади Мелекесской впадины. - В кн.: Вопросы геологии, разведки и разработки нефтяных и битумных месторождений. – Казань: Изд-во КГУ, 1997.–С.90-101.

Сахибгареев Р.С. Вторичные изменения коллекторов в процессе формирования и разрушения нефтяных залежей. – Л.: Недра, 1989. – 260с.

Троепольский В.И., Эллерн С.С. Геологическое строение и нефтеносность Аксубаево-Мелекесской депрессии. – Казань: Изд-во Казанск. Ун-та, 1964. – 658с.

Форш Н.Н. Волго-Уральская нефтеносная область. Пермские отложения. Уфимская свита и казанский ярус // Труды ВНИГРИ, 1955. – вып. 92. – 156с.

Хартман П. Зависимость морфологии кристалла от кристаллической структуры. – В кн.: Рост кристаллов, т. 7. – М.: Наука, 1967.

Шутов В.Д. Классификация терригенных пород и граувакк. – В кн.: Граувакк. – М., 1971. – вып. 221. – С.17-19.

Bulka G.R., Nizamutdinov N.M., Mukhutdinova N.G. (Nourgalieva N.G.) et al EPR Probes in sedimentary rocks: the features of Mn²⁺ and free radicals distribution in the Permian formation in Tatarstan, J. Applied Magnetic Resonance, 1991.-Vol.2.N1.-P.107-115

Machel H.G., Mountney E.W. Chemistry and Environments of dolomitization, Earth Science Reviews, 1986.-v.23.-P.175-222.

Nourgaliev D.K., Nourgalieva N.G. Astronomical calibration of the East-Russian plate Upper Permian sedimentary cycles: preliminary data about duration of the Kazanian Stage, Permorphiles, 34, 1999, P.15-19.

Rossi D. Dolomitizzazione delle formazioni anisiche e ladinisarne dell Dolomiti / Memori del museo Xidentino di Scienze Naturali, 1967. – XVI. – 120p.



Нургалиева Нурия Гавазовна, кандидат геолого-минералогических наук, доцент кафедры геологии нефти и газа Казанского университета. Область научных интересов: литология и стратиграфия пермских отложений РТ, коллекторские свойства резервуаров углеводородов, математические методы в геологии. Общее число публикаций - более 30.